

# Дифракция плоской электромагнитной волны на непрозрачном прямоугольнике с заданным эффективным коэффициентом отражения

Д.С.Кравченко, А.К. Черепанов

МГТУ МИРЭА, Москва.

Задача решается с помощью метода физической оптики (ФО) (см. например, [1]). Дифракция плоской электромагнитной волны на черных объемных телах и полупрозрачных пластинах (бесконечная лента, диск) рассматривалась в работе [2]. Метод ФО применялся в работе [3] для решения задачи о дифракции плоской электромагнитной волны на поглощающем клине. В данной работе рассматривается дифракция плоской электромагнитной волны на непрозрачном прямоугольнике с заданным эффективным коэффициентом отражения при E – поляризации падающей волны.

The problem is solved by the method of physical optics (FD) (see for example [1]). Diffraction of a plane electromagnetic wave on a black volumetric bodies and translucent plates (infinite tape, disk) was considered in [2]. FD method used in [3] for solving the problem of diffraction of a plane electromagnetic wave by an absorbing wedge. In this paper we consider the diffraction of a plane electromagnetic wave on an opaque rectangle with the specified effective reflection coefficient at E - polarization of the incident wave.

## 1. Постановка задачи

Пусть плоская электромагнитная волна падает на часть плоской непрозрачной поверхности (прямоугольник) с заданным эффективным коэффициентом отражения, ограниченную контуром, проходящим через точки A,B,C,D. Размеры прямоугольника:  $2a \times 2b$  (см.рис.1). Рассматривается случай падения волны в плоскости X0Y, поэтому волновой вектор падающей волны имеет две компоненты, отличные от нуля:

$$\mathbf{k}_i = \{k_{ix}, k_{iy}, 0\}$$

Направление падения волны определяется углом  $\alpha$ , отсчитываемым от оси X. Точка наблюдения находится на плоскости X0Y на расстоянии R от центра прямоугольника O, а ее угловое положение определяется углом  $\varphi$ , отсчитываемым также от оси X.

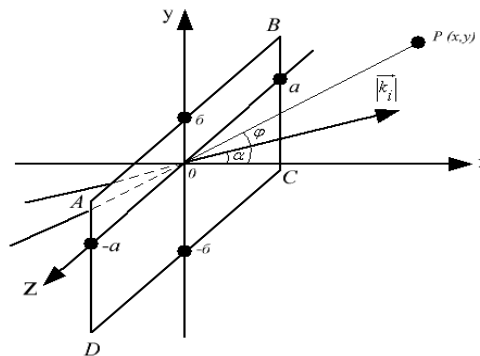


Рис. 1. ABCD – рассеивающая площадка,  $\mathbf{k}_i$  волновой вектор падающей волны,  $\alpha$  – угол падения волны,  $\varphi$ - угловое положение точки наблюдения – P от (X,Y).

## 2. Вывод расчетных формул

На прямоугольник падает плоская волна, у которой, вектор электрического поля имеет одну компоненту

$$\vec{E}^i = \{0, 0, E_z^i\}$$

$$E_z^i = E_{0z} \cdot e^{ik_i(x \cos \alpha + y \sin \alpha)}, \quad k_i = \left| \frac{r}{k_i} \right|.$$

В этом случае зеркально отраженная волна имеет вид:

$$E_z^s = V^e \cdot E_{0z} e^{ik_s(-x \cos \alpha + y \sin \alpha)}, \quad k_s = k_i,$$

где  $V^e$  - коэффициент отражения рассеивающей поверхности.

Полное поле у поверхности имеет вид:

$$E_z^i = E_{0z} \cdot e^{ik_i(x \cos \alpha + y \sin \alpha)} + V^e \cdot E_{0z} e^{ik_i(-x \cos \alpha + y \sin \alpha)}. \quad (1)$$

Используя уравнение Максвелла для монохроматического поля в вакууме

$$\text{rot} \vec{E} = ik \vec{H},$$

можно записать:

$$H_x = \frac{1}{ik} \cdot \frac{\partial E_z}{\partial y}, \quad H_y = -\frac{1}{ik} \cdot \frac{\partial E_z}{\partial x}. \quad (2)$$

Подставляя в формулы (2) полное электрическое поле (1), получим:

$$H_x = E_{0z} \left[ e^{ik(x \cos \alpha + y \sin \alpha)} + V^e \cdot e^{ik(-x \cos \alpha + y \sin \alpha)} \right] \cdot \sin \alpha \quad (3)$$

$$H_y = -E_{0z} \left[ e^{ik(x \cos \alpha + y \sin \alpha)} - V^e \cdot e^{ik(-x \cos \alpha + y \sin \alpha)} \right] \cdot \cos \alpha. \quad (4)$$

При  $x \rightarrow 0$  найдем компоненты поля на поверхности прямоугольника

$$E_z = E_{0z} \cdot (1 + V^e) \cdot e^{iky \sin \alpha}, \quad (5)$$

$$H_x = E_{0z} \cdot (1 + V^e) \cdot e^{iky \sin \alpha} \cdot \sin \alpha, \quad (6)$$

$$H_y = E_{0z} \cdot (1 + V^e) \cdot e^{iky \sin \alpha} \cdot \cos \alpha. \quad (7)$$

Как известно, поверхностные эквивалентные электрические и "магнитные" токи определяются соотношениями, [1] :

$$\vec{j}^e = \frac{c}{4\pi} \left[ \vec{n} \text{rot} \vec{H} \right] \quad (8)$$

$$\vec{j}^m = -\frac{c}{4\pi} \left[ \vec{n} \text{grad} \vec{E} \right], \quad (9)$$

где  $\vec{n}$  нормаль к поверхности со стороны падающей волны.

Принимая во внимание соотношения (5,6,7), найдем компоненты поверхностных эквивалентных токов:

$$j_z^e = \frac{c}{4\pi} H_y, \quad j_y^m = -\frac{c}{4\pi} E_z, \quad (10)$$

и компоненты вектор – потенциалов для электрического и "магнитного" токов

$$\vec{A}^e = -\frac{1}{c} \iint \vec{j}^e \frac{e^{ikr}}{r} dS, \quad \vec{A}^m = \frac{1}{c} \iint \vec{j}^m \frac{e^{ikr}}{r} dS, \quad (11)$$

где  $r = \sqrt{x^2 + (y - \eta)^2 + \zeta^2}$  есть расстояние от точки на поверхности прямоугольника до точки наблюдения находящейся на плоскости  $uOx$ .

Используя формулы (10), отличные от нуля компоненты вектор - потенциалов, запишем в виде:

$$A_z^e = -\frac{E_{0z}}{4\pi} \cdot (1 - R^e) \cdot I \cdot \cos \alpha \quad (12)$$

$$A_y^m = \frac{E_{0z}}{4\pi} \cdot (1 + R^e) \cdot I, \quad (13)$$

где

$$I = \int_{-a}^a d\zeta \int_{-b}^b e^{ik\eta \cdot \sin \alpha} \cdot \frac{e^{ik\sqrt{x^2 + (y-\eta)^2 + \zeta^2}}}{\sqrt{x^2 + (y-\eta)^2}} d\eta. \quad (14)$$

При  $a, b \ll r$  используем приближенное выражение для интеграла  $I$

$$I = 4 \cdot \frac{e^{ikR}}{\sqrt{kR}} \cdot \frac{\sqrt{\pi}}{k} \cdot \frac{\sin[kb(\sin \alpha - \sin \varphi)]}{(\sin \alpha - \sin \varphi)} \cdot (C(u) + iS(u)), \text{ где } u = \frac{ka^2}{2R}, \quad (15)$$

тогда для компонент вектор – потенциала электрического и "магнитного" токов получим:

$$A_z^e = \frac{1}{k} \cdot \frac{E_{0z}}{\sqrt{\pi}} \cdot (1 - R^e) \cdot \cos \alpha \cdot \frac{\sin[kb(\sin \alpha - \sin \varphi)]}{(\sin \alpha - \sin \varphi)} \cdot (C(u) + iS(u)) \cdot \frac{e^{ikR}}{\sqrt{kR}}, \quad (16)$$

$$A_y^m = \frac{1}{k} \cdot \frac{E_{0z}}{\sqrt{\pi}} \cdot (1 + R^e) \cdot \frac{\sin[kb(\sin \alpha - \sin \varphi)]}{(\sin \alpha - \sin \varphi)} \cdot (C(u) + iS(u)) \cdot \frac{e^{ikR}}{\sqrt{kR}}, \quad (17)$$

$$\text{где } C(u) = \sqrt{\frac{2}{\pi}} \int_0^{\sqrt{u}} \cos t^2 dt; \quad S(u) = \sqrt{\frac{2}{\pi}} \int_0^{\sqrt{u}} \sin t^2 dt \quad (18)$$

интегралы Френеля.

С помощью известных соотношений для компонент электрического поля и вектор-потенциалов электрического и "магнитного" токов, найдем компоненты электрического и магнитного полей  $E_z, H_x, H_y$ :

$$E_z = \frac{iE_{0z}}{\sqrt{\pi}} \cdot \frac{e^{ikR}}{\sqrt{kR}} \cdot (C(u) + iS(u)) \cdot G(\varphi) \cdot (\cos \alpha + \cos \varphi - V^e \cdot (\cos \alpha - \cos \varphi)), \quad (19)$$

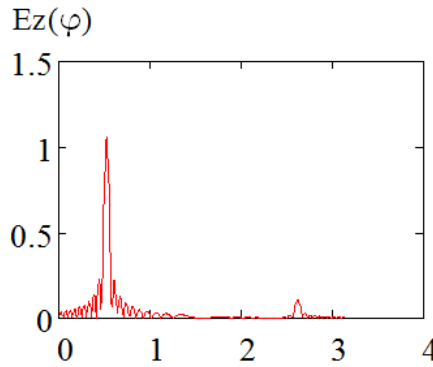
$$H_x = -\frac{iE_{0z}}{\sqrt{\pi}} \cdot \frac{e^{ikR}}{\sqrt{kR}} \cdot (C(u) + iS(u)) \cdot G(\varphi) \cdot (\cos \alpha + \cos \varphi - V^e \cdot (\cos \alpha - \cos \varphi)) \cdot \sin \varphi, \quad (20)$$

$$H_y = \frac{iE_{0z}}{\sqrt{\pi}} \cdot \frac{e^{ikR}}{\sqrt{kR}} \cdot (C(u) + iS(u)) \cdot G(\varphi) \cdot (\cos \alpha + \cos \varphi - V^e \cdot (\cos \alpha - \cos \varphi)) \cdot \cos \varphi. \quad (21)$$

Легко видеть, что  $|E_z| = \sqrt{|H_x|^2 + |H_y|^2}$ .

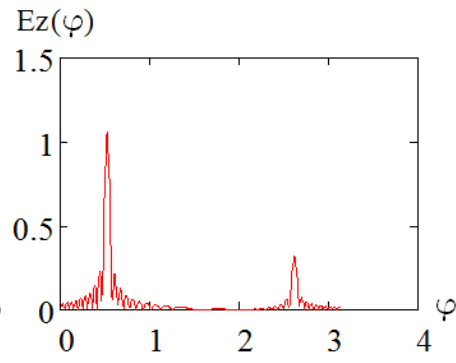
### 3. Результаты численных расчетов

По формулам (19, 20, 21) проведены численные расчеты при следующих исходных данных:  $\varphi = 0 \dots 180^\circ$ ;  $a = 30$  см;  $b = 40$  см;  $R = 600$  см;  $1200$  см;  $V^e = 0,1; 0,3$ ;  $k = 2$ ;  $\alpha = 30^\circ$



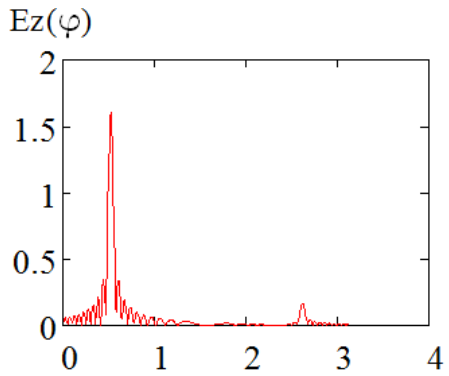
$a = 40; b = 30; R = 1200; V^e = 0,1$

**Рис. 2.**



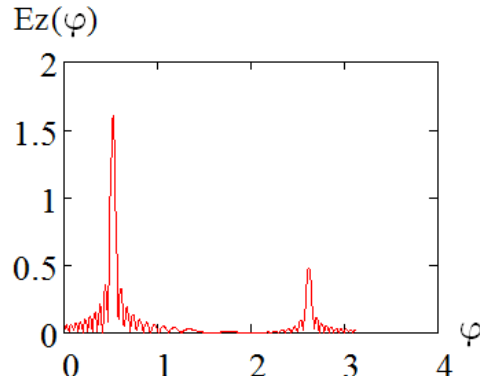
$a = 40; b = 30; R = 1200; V^e = 0,3$

**Рис. 3.**



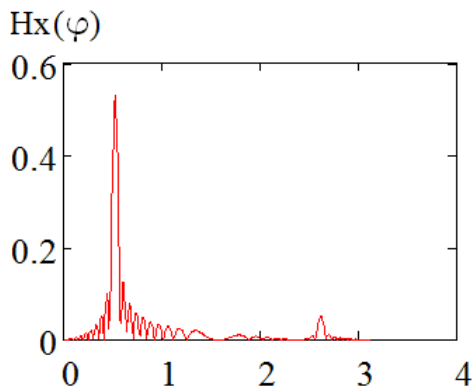
$a = 40; b = 30; R = 600; V^e = 0,1$

**Рис. 4.**



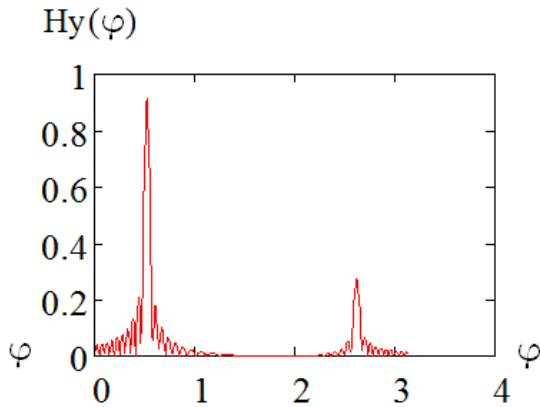
$a = 40; b = 30; R = 600; V^e = 0,3$

**Рис. 5.**



$a = 40; b = 30; R = 1200; V^e = 0,1$

**Рис. 6.**

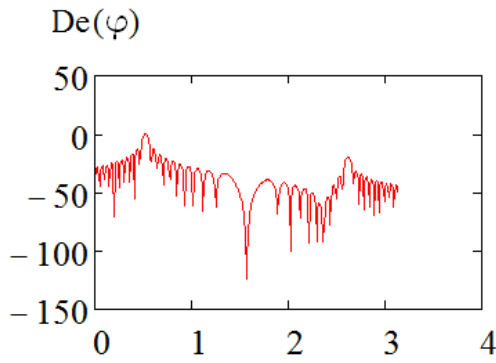


$a = 40; b = 30; R = 1200; V^e = 0,3$

**Рис. 7.**

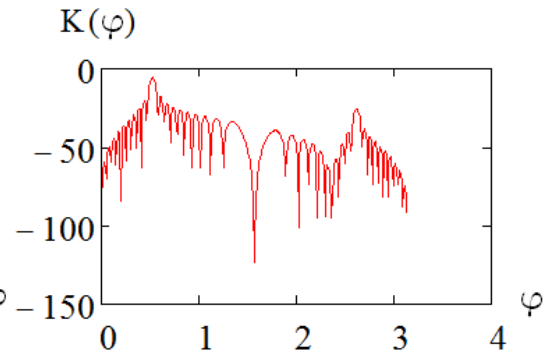
На рисунках 2 и 3 приведены результаты, полученные при  $R = 1200$  см, а на рисунках 4, 5 при  $R = 600$  см. Рисунки 2 и 4 получены для коэффициента отражения  $V^e = 0,1$ , а рисунки – 2,4 при  $V^e = 0,3$ . Наибольший максимум рассеянного поля соответствует "прострельному" направлению - направлению падающей волны, а меньший - соответствует направлению зеркально отраженной волны. Видно, что амплитуда максимума, соответствующего отраженной волне при  $V^e = 0,3$  (рис.3, 5), увеличивается по сравнению с максимумом отраженной волны при  $V^e = 0,1$  (рис.2, 4).

Компоненты магнитного поля приведены на рис. 6, 7 для расстояния до точки наблюдения  $R=1200$  см. На рисунках 8, 9, 10 приведены расчетные данные для модулей  $E_z, H_x, H_y$  в децибелах, также для  $R = 1200$  см.



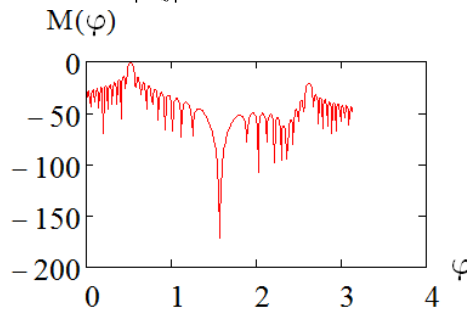
$a = 40; b = 30; R = 1200; Ve = 0,1$

**Рис. 8.**  $D^e(\varphi) = 20\log|E_z|$



$a = 40; b = 30; R = 1200; Ve = 0,1$

**Рис 9.**  $K^e(\varphi) = 20\log|H_x|$



$a = 40; b = 30; R = 1200; Ve = 0,1$

**Рис 10.**  $M^e(\varphi) = 20\log|H_y|$

Отметим, что глубокий минимум при  $\varphi = \pi/2$  соответствует нулевому рассеянию вдоль поверхности прямоугольника, так как прямоугольник предполагается бесконечно тонким.

### Литература

1. П.Я. Уфимцев. "Метод краевых волн в физической теории дифракции". - М.: Изд. "Советское радио", 1962.
2. П.Я. Уфимцев. "Дифракция на черных телах и на полупрозрачных пластинах".- Известия вузов том XI, №6. Радиофизика. 1968.
3. А.К. Черепанов. "Дифракция плоской электромагнитной волны на неограниченном поглощающем клине". - Межвузовский сборник научных трудов "Вопросы повышения эффективности радиоэлектронных систем", М.: Министерство образования и науки РФ, МГТУ МИРЭА, 2001.